

AN EFFICIENT MICROCONTROLLER BASED ARCHITECTURE FOR
LINEAR POWER SUPPLIES

A Thesis

Presented to the Faculty of Engineering
of Ankara University

In Partial Fulfillment of the Requirements for the Degree of
Bachelor of Science in Engineering

by

Teoman Soyg  l

With the Sponsorship of



June 2009

With the Sponsorship of



© 2009 Teoman Soygül

ÖZ

Modern elektronik cihazlarda boyutların olabildigince küçük olmasının oldukça önem kazandığı bir zamanda, özellikle laboratuvarların en önemli parçası sayılan ayarlanabilir güç kaynakları için de daha etkin bir mimari geliştirilebileceği açıktır. Ayarlanabilir gerilim ve akım çıkışının, dijital ekranlı göstergelerin, kısa devre korumasının, bilgisayar kontrolünün ve hatta gerekirse lineer değil fonksiyonel çıkışın bir arada toplandığı bir güç kaynağı inşa etmek dijital elektronigin güncel olanakları ile oldukça mümkün görünürken bütün bu özelliklerin tek bir mikrokontrolör tarafından sağlanması ise önemli ölçüde araştırma ve geliştirme gerektirmektedir. Bu amaçla geliştirilen bu projede, önceden sunulan bazı teorik öngörülerin de test edilmesi ile analog parçalar ile yapılması muhtemel sistemlerin tek bir dijital kontrol ünitesinde birleştirilmesi ile en az masraf ile en yüksek kazanç elde edilerek endüstriyel kalitede bir çalışma meydana getirilmiştir. Mimarının beklenenin dahi çok üzerinde bir etkinliğe sahip olması, benzeri yaklaşımların diğer bütün elektronik cihazların maliyetleri ve boyutlarının düşürülürken başarımının artırılabilirliğini kesin olarak göstermektedir.

For the greater good...

TEŞEKKÜRLER

En basından beri bu projenin var olmasının sağladığı için tez danışmanım Prof. Dr. Necmi Serin'e teşekkür ederim. Gelecekte bu ve benzeri projelerin gelişmesine kolaylık sağladıkları için Prof. Dr. Ali Ulvi Yılmaz, Prof. Dr. Çelik Tarımcı ve Doç. Dr. Hüseyin Sarı'ya ayrıca teşekkür ederim. Bu projenin ana sponsoru olarak araştırma ve geliştirme aşamasında verdikleri destekten oturu Türkiye Odalar ve Borsalar Birliği'ne özel olarak teşekkür ederim.

İÇİNDEKİLER

BÖLÜM 1 GİRİŞ	1
BÖLÜM 2 DONANIM TASARIMI.....	4
BÖLÜM 3 MICROCONTROLLER YERLEŞİK BELLEK TASARIMI	6
BÖLÜM 4 KONTROL YAZILIMI TASARIMI	11
BÖLÜM 5 SONUÇ	18
EK 1 UYGULAMA KODU	19
C Kodu	19
<i>main.c</i>	19
EK 2 KONTROL PANELİ KAYNAK KODU.....	26
C# Kodu	26
<i>SetVCP.cs</i>	26
EK 3 TEST KODU.....	33
C# Kodu	33
<i>Demonstration.cs</i>	33
KAYNAKLAR.....	40

ŞEKİLLER DİZİNİ

Şekil 1.1: Atmel Atmega8 mikrokontrolör [1].	1
Şekil 1.2: Tezin deneysel kısmının tamamlanmış hali.....	2
Şekil 1.3: Deneysel çalışmasının sonucu.	3
Şekil 4.1: Butunu ile lineer güç kaynağı devresi.	5
Şekil 5.1: MCU yerleşik belleği bileşen (component) diyagramı.....	7
Şekil 5.2: MCU yerleşik belleği sınıf (class) diyagramı.....	8
Şekil 5.3: Acilisi sekansı için kullanım örneği (use case) diyagramı.	8
Şekil 5.4: Sistemin dış dünya ile etkileşimleri için kullanım örneği diyagramı.	9
Şekil 6.1: Kontrol paneli sınıf diyagramı.....	12
Şekil 6.2: Kontrol yazılımının en önemli parçası olan SetVCP formunun sınıf diyagramı.	13
Şekil 6.3: Butunu ile Prototip B Kontrol Paneli yazılımı.	14
Şekil 6.4: SetVCP modülünün grafik arayüzü.....	15
Şekil 6.5: Current Status modülünün grafik arayüzü.....	15
Şekil 6.6: Hardware Information modülünün grafik arayüzü.....	16
Şekil 6.7: Demonstration modülünün grafik arayüzü.....	16

KISALTMALAR

uC: Microcontroller (Mikrokontrolur)

MCU: Microcontroller Unit (Mikrokontrolur Unitesi)

uP: Microprocessor (Mikroislemci)

ADC: Analog to Dijital Converter (Analog Dijital Cevirici)

DAC: Digital to Analog Converter (Dijital Analog Cevirici)

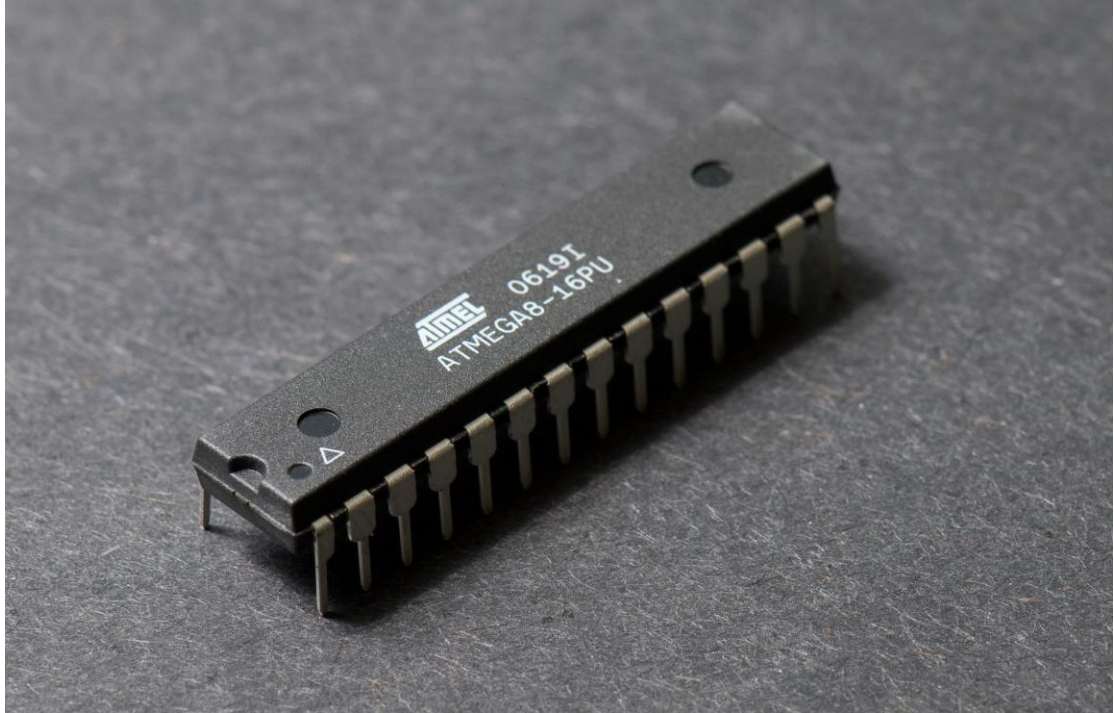
FRM: Firmware (Yerlesik Bellek)

ÖNSÖZ

Bu tezin devamında, literatürde mikrokontrolör teriminin yerine daha sık kullanılan μC (microcontroller) veya MCU (microcontroller unit) terimleri kullanılacaktır. Mikrocontroller terimi yerine bazen mikroislemci denmesinin nedeni ile birlikte devre tasarımında kullanılan diğer parçalar hakkında genel bilgiler, ilerleyen bölümlerde sunulmaktadır. Özellikle diyagramların ve grafiklerin bu tezin İngilizce versiyonu da düşünülerek hazırlanmasından dolayı, ayrıca çeviri yapılmayarak orjinal halleri ile kullanılmışlardır. Bu sayede özellikle grafiksel olarak ifade edilen kaynak kodu ve dijital diyagramlar, yazıldıkları dil ile uyumludurlar.

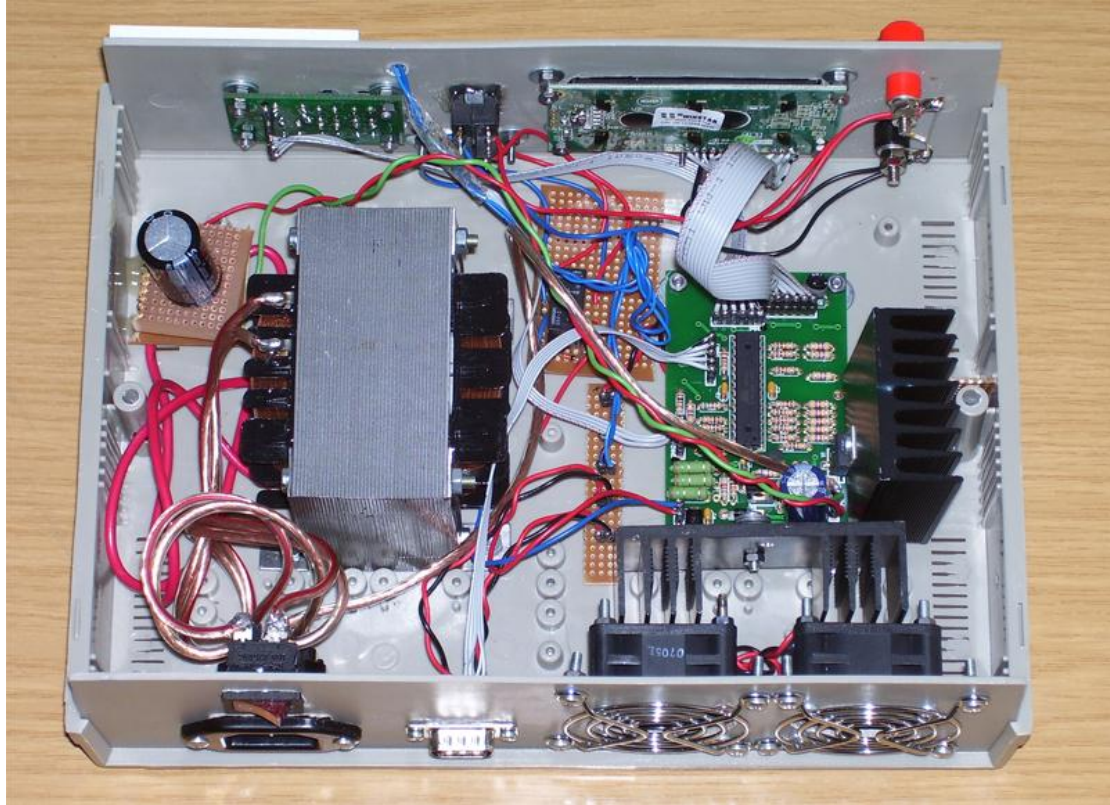
Bölüm 1 Giriş

Temelde en çok kullanılan laboratuvar ekipmanlarından olan ayarlanabilir güç kaynakları, eski tasarımların oldukça güvenilir olmaları nedeni ile genel olarak analog yapıya sahiptirler. Dijital ekranlı istan arayuzu veya bilgisayar bağlantıları olsa bile temel olarak değişken güç üretme işi analog devre elemanları ile yapılır. Bu tezin geneli itibarı ile beklenti, geleneksel olarak analog parçalara yüklenen işin oldukça büyük bir kısmının dijital bileşenler tarafından da yapılabileceğini göstermektir. Bu surette, dijital bileşenlerin de tek bir paket içinde toplandığı bir mikrokontrolör kullanmak da toplam üretim maliyetini oldukça düşürücü bir etmen olacaktır. Bu tezin deneysel kısmını oluşturan elektronik devrenin tasarımındaki temel bileşen, Figur 1 üzerinde görüldüğü gibi Atmel Atmega8 mikrokontrolör'dür.



Şekil 1.1: Atmel Atmega8 mikrokontrolör [1].

Elektronik devrenin tasariminda, ATmega8 disinda hicbir entegrenin kullanilmasina gerek kalmamasi, modern MCU'larin ne denli yetenekli oldugunu gostermektedir. Iyi programlanmalari halinde, sistemdeki diger butun analog parcalarla iletisim kurmak icin gereken butun donanima sahiptirler. MCU kullanilarak devrenin butunu ile tamamlanmis hali asagidaki gibidir.



Şekil 1.2: Tezin deneysel kisminin tamamlanmis hali.

Geleneksel bir guc kaynagini dusunerek, yukaridaki figurse bircok analog parca eksik gorunmektedir. En basit haliyle bir crowbar circuit [2] (kisa devre korumasi) dahi goze carpmamaktadır. Bunun nedeni, kisa devre korumasinin MCU seviyesinde yazilimsal olarak yapılmasıdır. Bu devre icin hazirlanilan yazilima sadece birkac satir kod eklenilerek, normal sartlar altinda bircok ek parca gerektirecek olan kisa devre koruma sistemini, cok daha etkin bir sekilde uygulamaya konulmustur. Bu haliyle MCU, 100 μ s icinde kisa devreye tepki vererek akimi kesmektedir ki bu en iyi

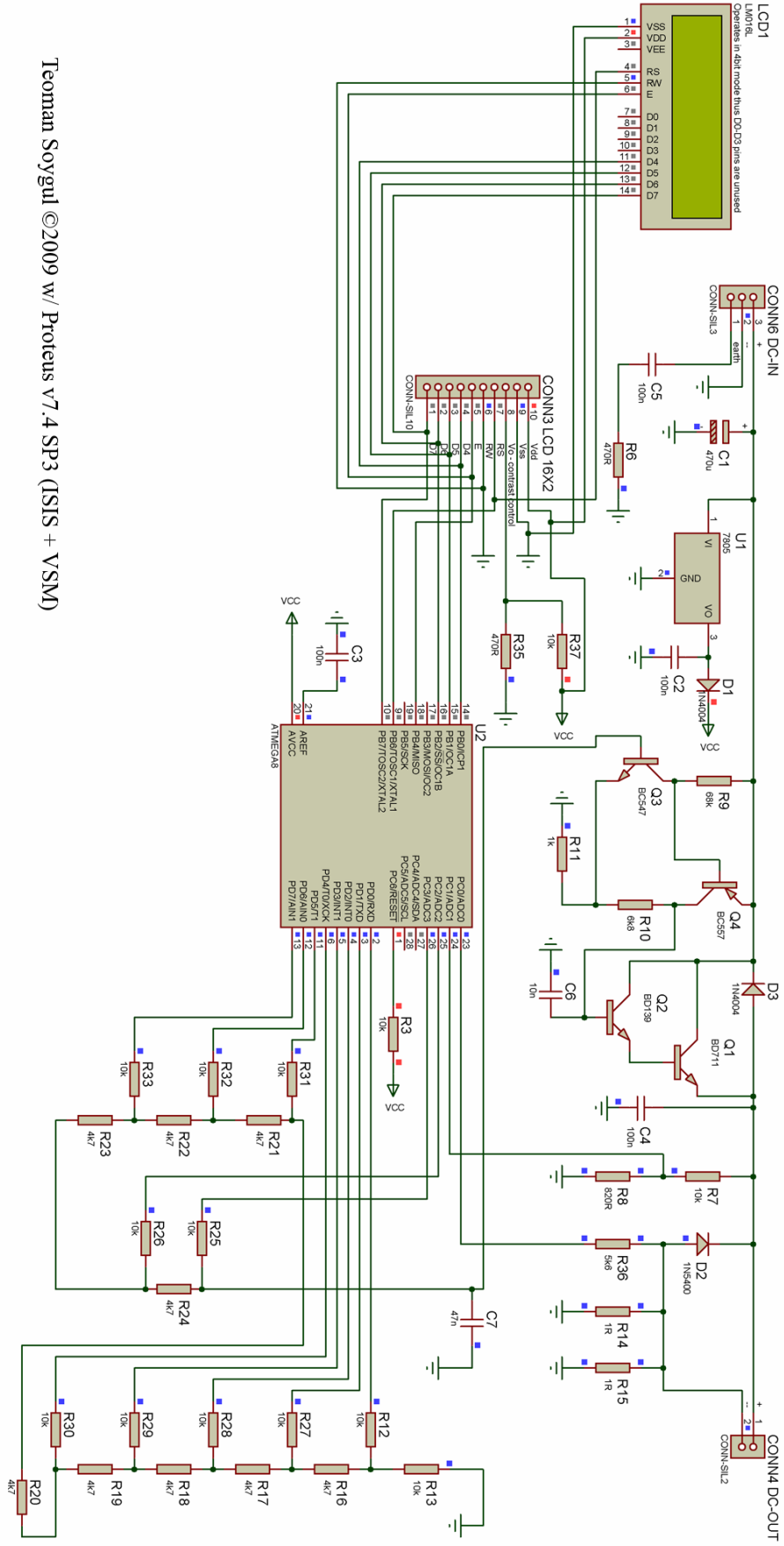
analog korumdanan bile birkaç kat daha hızlıdır. Bu ornege benzer sekilde, birçok farklı durum için ek analog devre elemanlarının yapılması gereken iş yazılım seviyesine indirgenerek, lineer güç kaynakları için etkin bir mimari örneği ortaya konmuştur. Başarıyla tamamlanan bu deneysel çalışmanın sonucu, aşağıda görülmektedir.



Şekil 1.3: Deneysel çalışmasının sonucu.

Bölüm 2 Donanım Tasarımı

Her bir basamagin ayri bir isleve sahip oldugu guc kaynagi devresinde, butun basamaklarin biraraya getirilmesi ile islevsel bir devre elde edilmiş olunur. Sekil 4.1 uzerinde gorulecegi uzere, devrenin dijital kisminin disinda en buyukalani analog yukseltec basamagi almaktadır. Tabi yukseltec ile MCU arasindaki baglantiyi saglayan R2 Ladder’da harici bir DAC kullanilmamasi nedeni ile yer ve enerji tüketimi acisindan önemli bir unsurdur. Bu devre gucunu 7805 ile anakolda saglamasi nedeniyle bu durum sorun yaratmazken, pilli uygulamalar icin kacinilmasi gereken bir cozumdur. Ote yandan maximum DAC hizina bu islevi en basit haliyle yapan R2 Ladder ile ulasilabilir. R2 ile guc yukselteci arasinda hicbir buffer etmeni bulunmadigi icin veya transistor saturation gecikmeleri olmadigi icin, MCU ile yukseltec arasindaki analog veri iletisimi oldukca seri bir sekilde gercekleşmektedir. Bu iletisimin oldukca hizli olmasinin gerekliligi, kisa devre korumasinin tehlike aninda olabilecek en kisa surede aktif hale gelmesinin gerekli olusundan ile gelmektedir. MCU’nun halihazirda gerekli cozunurluge sahip bir ADC’ye sahip olmasi nedeni ile, basit birer feedback line ile akim ve gerilim, hizli veri iletisiminin sagladigi rahatlik icinde surekli kontrol altinda tutulur. Sekil 4.1 uzerindeki semada, tus takimi, yerlesik bellek guncelleme ve bilgisayar baglantilari gosterilmemis olmakla birlikte, bu cizim aslen butunu ile bir devre simulasyonudur. Sonraki sayfada gorulen guc kaynagi devresi, fiziksel olarak insaa edilmeden once Proteus VSM ile SPICE simulator ortaminda test edilmesi [3], ayri devre basamaklarinin butunu ile calisirligini gormek icin oldukca önemlidir. Bu sayede, henuz hicbir fiziksel altyapi hazir degilken bile simulator ortaminda butun devrenin calisir hali test edilebilir.

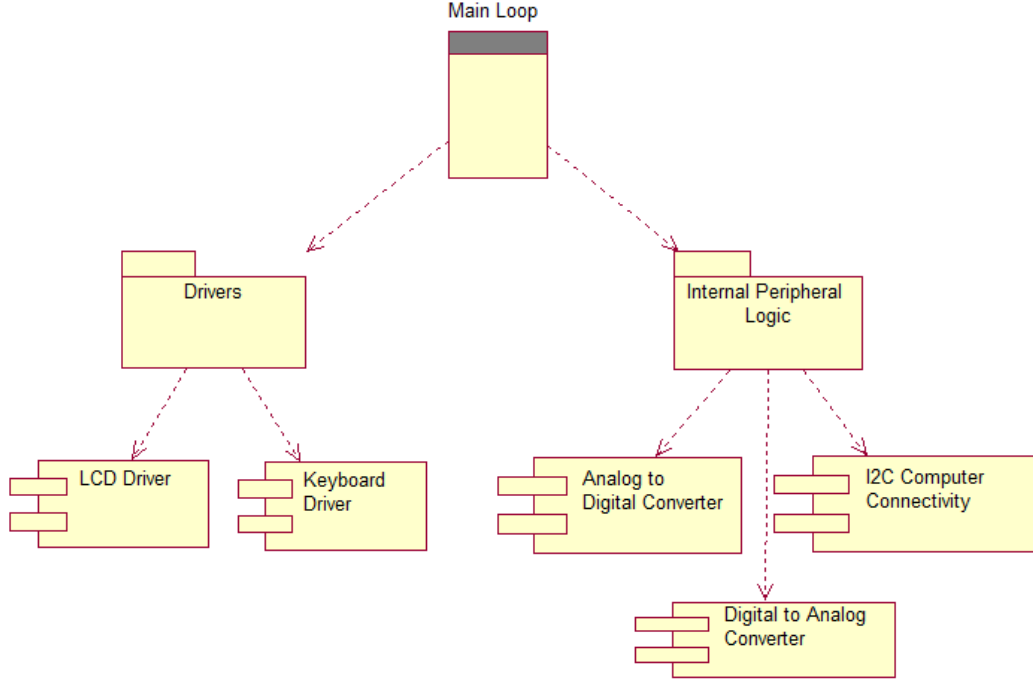


Şekil 2.1: Butunu ile lineer guc kaynagi devresi.

Bölüm 3 Microcontroller Yerleşik Bellek Tasarımı

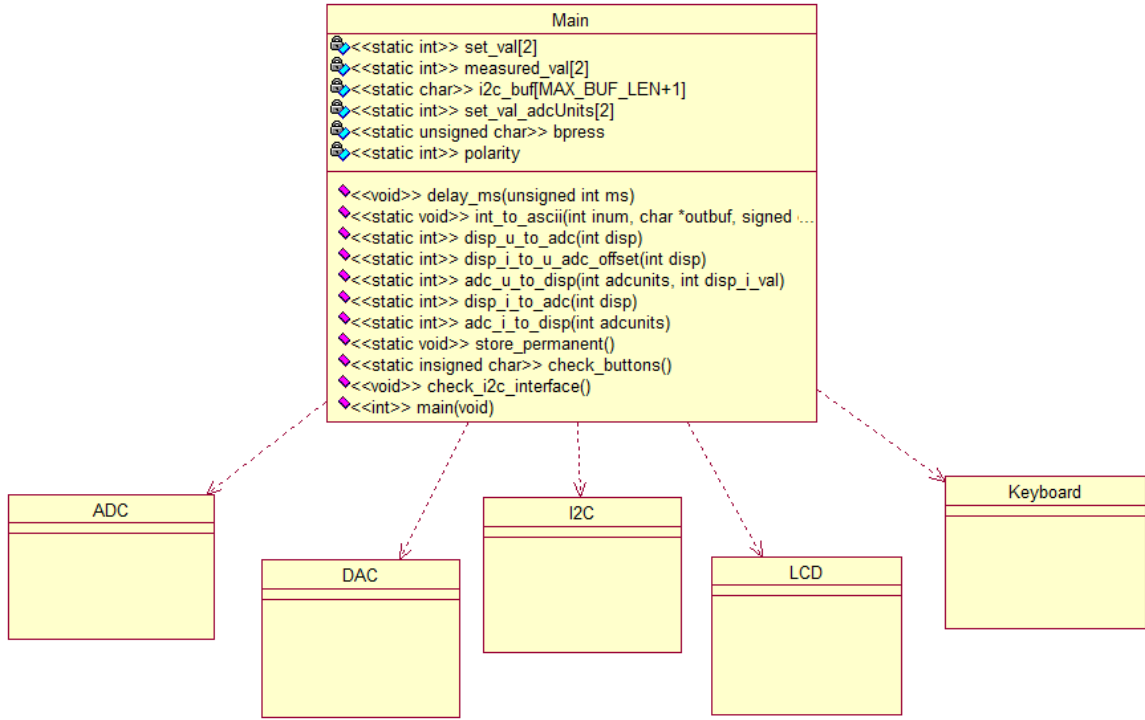
Bu tezin deneysel kısmının en önemli parçalarından biri, fiziksel devrenin hemen hemen bütün işlerliğinin tanımlandığı MCU yerleşik bellek (firmware) tasarımıdır. EK 1’de bu devre için tasarlanan yerleşik bellek yazılımının en önemli parçası olan ana dongunun kaynak kodu görülmektedir. Yazılımın tamamı yaklaşık olarak 1700 satır olması nedeni ile EK 1 ‘de sadece ana modul eklenmiş olup ve bu tez dosyası ile sunulan CD içinde bütün kaynak kodu bulunmaktadır. Yazılım butunu ile Atmel AVR Studio 4 ile WinAVR 2009.03 (C99) standardi için tasarlanmıştır [5].

Bu devre dahilinde MCU işlevini tanımlayan yazılım, ana hatları ile modüler olarak tasarlanmıştır. Bunun amacı, programda bilgi akışını sağlayan ana kod ile bu akışın devamlılığını sağlayan yardımcı kodları ayırmaktır. Örneğin, ölçülen akım ve gerilim değerlerini LCD ekrana yazdırmak için kullanılan modul, ana yazılımdan butunu ile ayrı tutulmuştur. Bu sayede, daha ileri modeller için daha geniş bir grafik LCD kullanılmak istendiğinde, bütün yerleşik bellek yazılımı yerine sadece bu modülün değiştirilmesi ile istenilen sonuca erişilebilecek olmasıdır. Bu devre için, MCU yazılımı esas olarak büyük bir ana döngü (main loop) ve iki ana yazılım paketinden (package) oluşmaktadır. Şekil 5.1 üzerinde görülen bu modüler yapı, kontrol yazılımının diğer bütün elemanlarını içine alır. MCU ‘nun insan arayüzünü oluşturan parçalar (LCD ekran ve klavye) ile iletişimi, sürücü yazılım bileşenleri ile sağlanır (diyagramlar tezin İngilizce versiyonu düşünülerek butunu ile İngilizce olarak hazırlanmıştır). MCU içinde halihazırda var olan analog dijital çevirici, I2C iletişim yolu gibi içsel bileşenlerin kullanılması için gereken yazılım bileşenleri de içsel çevre birimi mantığı paketinde toplanmıştır.



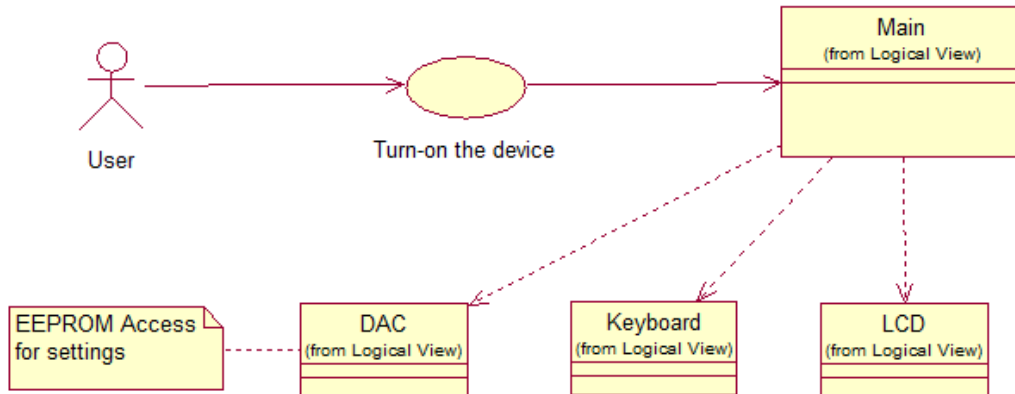
Şekil 3.1: MCU yerlesik belleği bileşen (component) diyagramı.

Her bir yazılım paketi içinde sunulan bileşenler, bir veya birden çok alt sınıfa ayrılmıştır. Tabii C programlama dili için sınıf gibi bir kavram mevcut olmasa bile, nesne tabanlı programlama mantığı ile her bir iş için özelleştirilmiş fonksiyonlar ayrı modul dosyaları içinde birleştirilmiştir. Bu durumun en büyük yararı, projenin geliştirilip 32 bitlik bir MCU ile güncel bir tasarım yapılmak istendiğinde, yazılım üzerinde çok az değişiklik yaparak bu güncelleme rahatlıkla yapılabilir olmasıdır. Şekil 5.2 üzerinde, MCU yerleşik belleğinin tasarımının tamamını oluşturan sınıfların tamamı gösterilmektedir. Butun fonksiyon ve değişkenleri açıkça diyagram üzerinde gösterilmiş olan Main sınıfı, programın en önemli parçası durumundadır. EK 1 içinde bütün kaynak kodu bulunan bu sınıf, bir kere cihaz çalışmaya başladığı zaman bütün kontrolü ele alıp, olası ve sıra dışı durumların butunu için verilmesi gereken uyarıları dikte eder. Daha az detay ile gösterilmiş diğer sınıflar ise, yardımcıları olarak adlandırılır. Bunlar, asıl kodun işlevselliği için gereken alt bileşenlerdir.



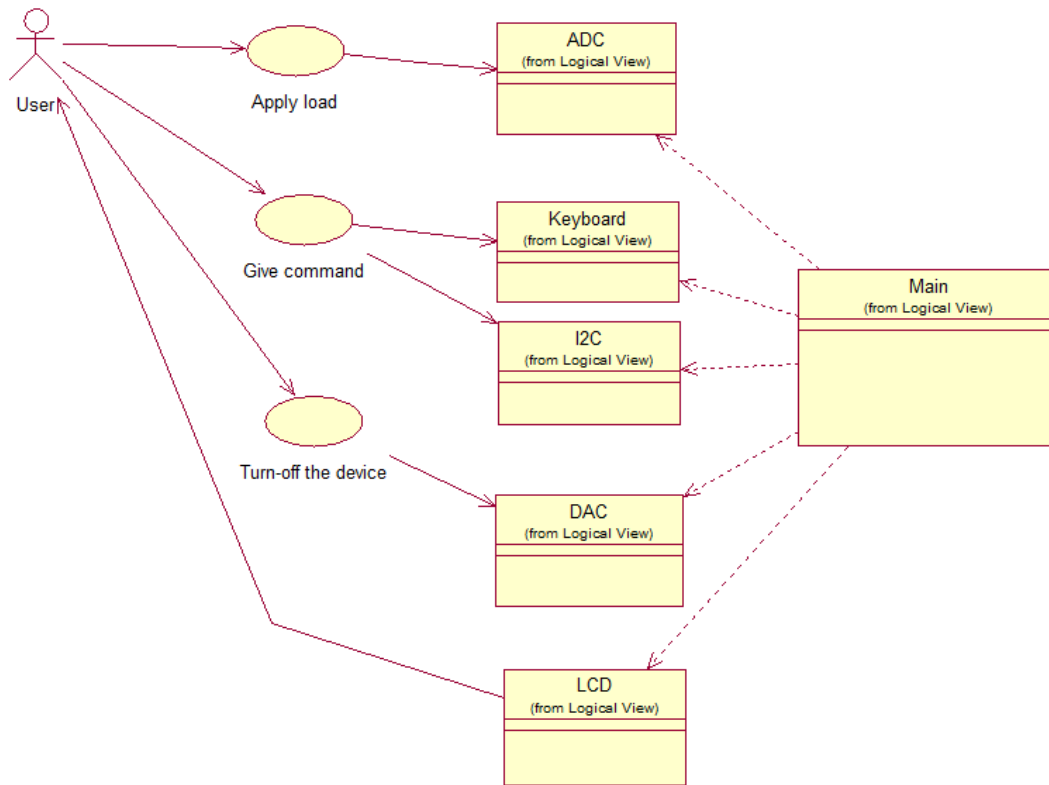
Şekil 3.2: MCU yerlesik belleği sınıf (class) diyagramı.

Kodun genel islevi, gorsel olarak bir dizi kullanım senoryosu ile belirlenmistir. Ornegin cihazin ilk acilis anindan itibaren komutlar icin hazır hale gelisi suresinde meydana gelen etkilesimler, Sekil 5.3 uzerinde gosterilmistir. (Butun component, logic, usecase ve sequence diyagramlari IBM Ration Rose [4] ile cizilmistir)



Şekil 3.3: Acilis sekansi icin kullanım ornegi (use case) diyagramı.

Kullanıcının cihazı açması anından itibaren, ilk olarak Main sınıfı başlatılır ve sırası ile LCD ekran, klavye ve dijital-analog çevirici aktif hale gelir. Eger, önceden kaydedilmiş akım ve gerilim değerleri varsa, bunlar hafızadan okunarak çıkış değerleri ayarlanır. Bu üç aşamalı başlangıç sekansından sonra sistem uyarılara hazır hale gelir. Bu uyarı çıkış uçlarına bir yük direnci bağlanması olabileceği gibi, klavyeden veya bilgisayardan bir komut verilmesi şeklinde de olabilir.



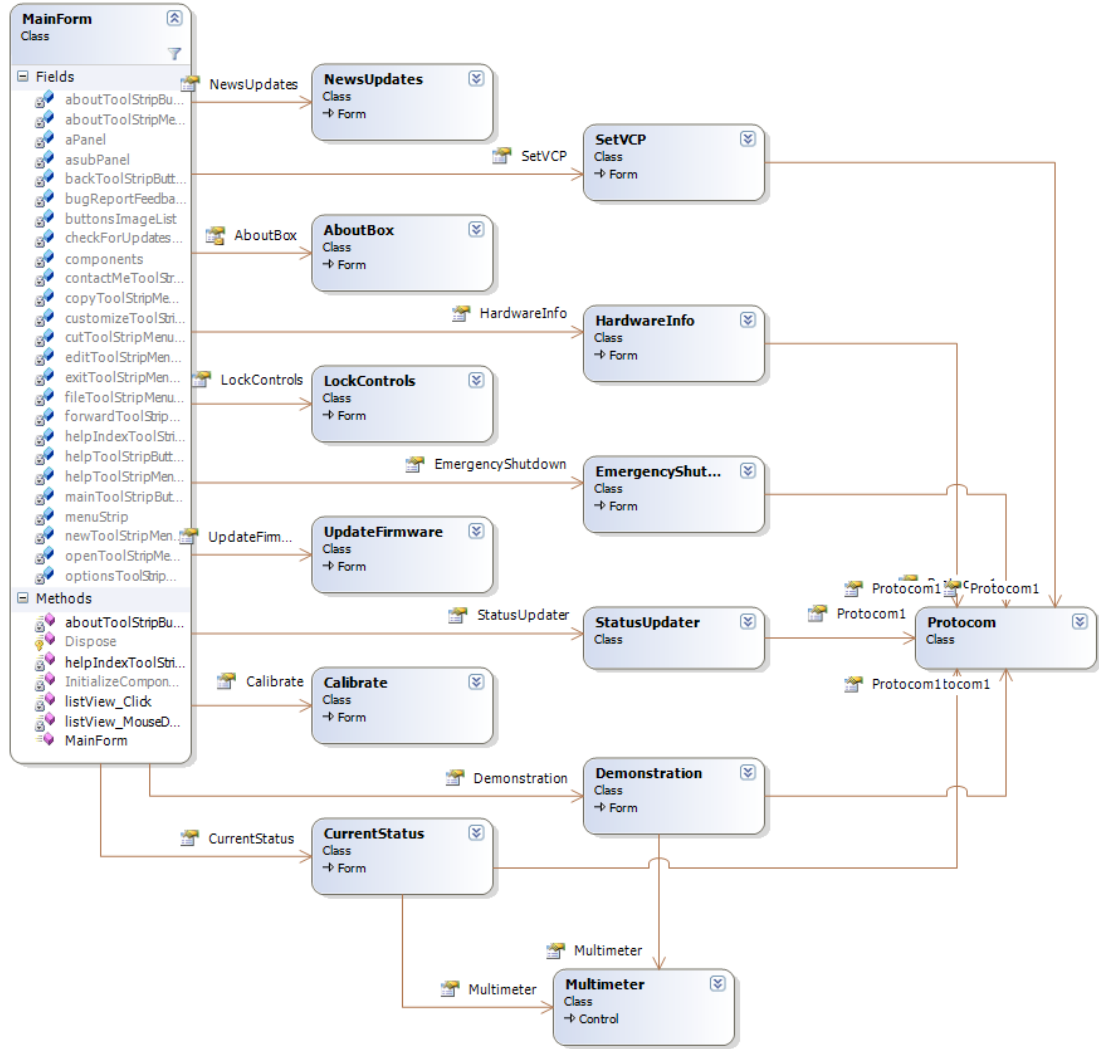
Şekil 3.4: Sistemin dış dünya ile etkileşimleri için kullanım örneği diyagramı.

Yukarıdaki şekilde görüleceği üzere, kullanıcının sistem ile her etkileşimi farklı bir bileşen tarafından değerlendirilerek sistemde bir değişikliğe yol açmaktadır. Bu, verilen bir komuta uygun olarak akımın değiştirilmesi olabileceği gibi büyük bir yük bağlanmasıyla kısa devre korumasının aktive olması şeklinde gelişebilir. Diyagramda, sistemin kullanıcıya veri aktarma yolu olarak sadece LCD ekran gösterilmiş olsada,

bir sonraki kisimda gorulecegi uzere, kumanda yazilimi kullanilarak cihazdan mevcut yuk durumu ile ilgili cok detayli bilgiler alinabilmektedir.

Bölüm 4 Kontrol Yazılımı Tasarımı

Butunu ile lineer bir guc kaynagi olmasi icin tasarlanan bu sistemin kontrolu icin en pratik yol cihaz üzerindeki klavye ve verileri gozlemlemek icin LCD ekran olsa bile, bu basit ozelliklerin cok otesinde gereksinimler icin bir masaustu kontrol yazilimi kullanmak kacinilmaz hale gelmektedir. Tasarlanan boyle bir yazilimin en onemli ozelligi dogal olarak kullanıcı ile etkilesimi maximuma cikarirken, otomatik kontrol islevini de eksiksiz yerine getirebilmek olmaktadır.



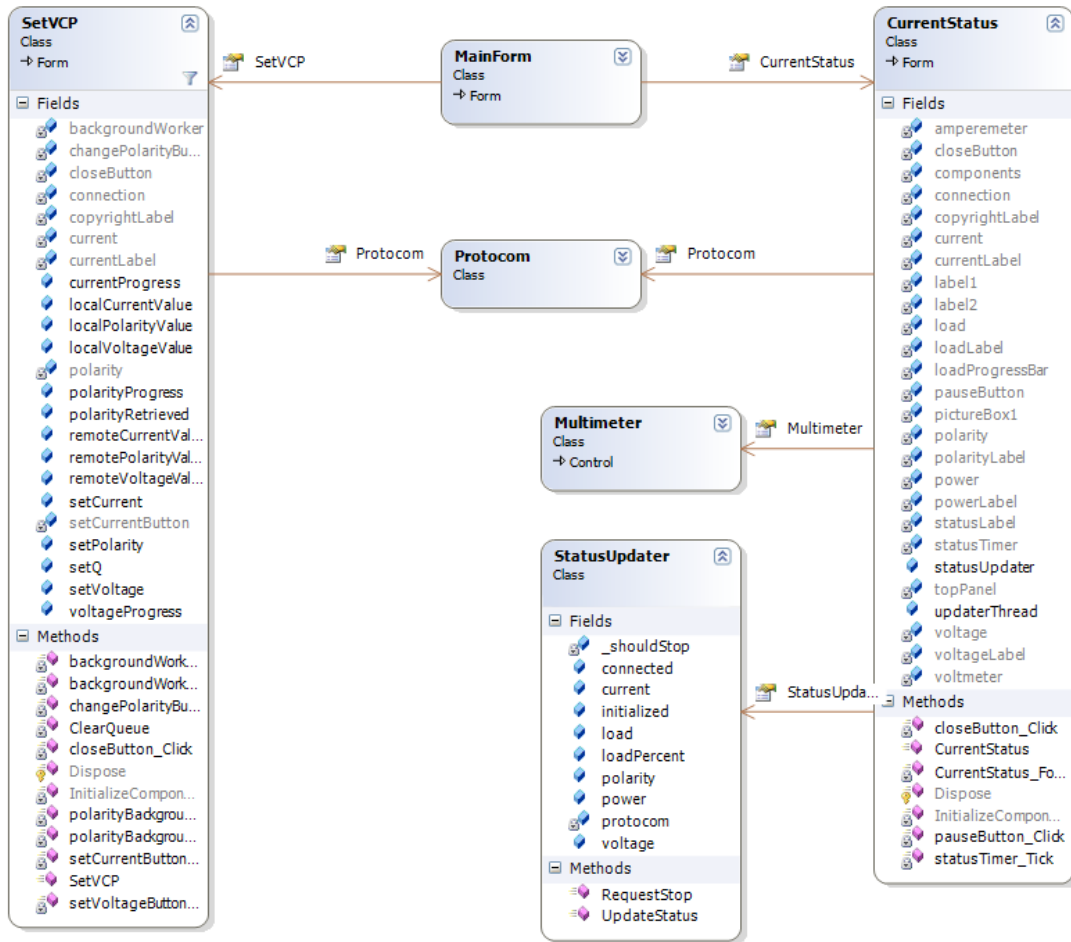
Şekil 4.1: Kontrol paneli sınıf diyagramı.

Elektronik sistem ile benzer isme sahip olması için “Prototip B Kontrol Paneli” olarak adlandırılan kontrol yazılımının butunu ile modüler yapısı Şekil 6.1 üzerinde rahatlıkla görülmektedir. Birbiri ile butunu ile instance ilişkisi olan sınıflar, bir otomobilin parçaları gibi bir araya gelerek işlevsel bir bütün oluşturmaktadır. Tamamı ile nesne-iliskili (object-oriented) olarak C# programlama dili ve Microsoft Visual Studio 2008 ile dizayn edilen yazılım [7], .NET Framework 3.5 SP1’in özellikle nesne tabanlı sistemler için sunduğu bütün olanakları kullanmaktadır. (Şekil 6.2 üzerindeki işlevi gerçekleştiren modul’un kaynak kodu EK 1 içinde bulunabilir. Yazılımın tamamı 13500 satır [270 sayfa] ‘i astığı için tez dosyası ile birlikte sunulan CD içinde bulunabilir). Kullanılan programlama teknikleri açısından da oldukça zengin olan program, temel olarak aşağıda listelenen programlama modellerin kullanmaktadır:

- .NET Framework 3.5 ile sunulan birinci sınıf multithreading sınıfları ile elektronik devre ile non-blocking iletişim. Yani kontrol panelinde bilgiler sürekli olarak kullanıcıya sunulurken arka planda cihaz ile iletişim aralıksız olarak sürmekte ve bu iletişim sırasında kontrol paneli kullanıcı girişlerine sürekli olarak cevap vermeye hazır durumda olmaktadır.
- Özellikle Timer kontrolü ile periyodik interruptlar ile bağlantının devamlılığı sürekli test edilmektedir. Kullanıcı arayüzü ve iletişim için kullanılan işlemcilerle ek olarak 3. bir eşzamanlı işlemci olarak çalışan timer interrupt’lar ile cihaz ile bağlantının kesilmesi halinde varsayılan iş yarıda kesilerek bağlantı sekansında geri donulmaktadır ki bu da endüstriyel kalitedeki yazılımlarda bile sıkça rastlanan veri kayıplarını sifıra indirir.

- Queue ve stack veri yapılarında tutulan komutlar sirasi ile devreye gonderilerek sonuclar arka planda islenir. Bu kullanicinin cihaza gonderilen komutlari sonuclarini beklemeden seri bir sekilde komut verebilmesini saglamaktadır.
- Özellikle Windows.Forms sinifinin oldukca gelismis grafik istemci ozellikleri kullanarak program icinde kullanıcıya daha fazla veri monoton hale getirilmeden sunulabilmektedir.

Butun bunlari yaninda C# dilinin esnekliklerini de gostermek icin oldukca iyi bir ornek olan bu program, ucretsiz olan Visual C# 2008 Express Edition [7] kaynak kodunda degisiklikler yapilari yeniden derlenebilir.



Şekil 4.2: Kontrol yazılımının en önemli parçası olan SetVCP formunun sınıf diyagramı.

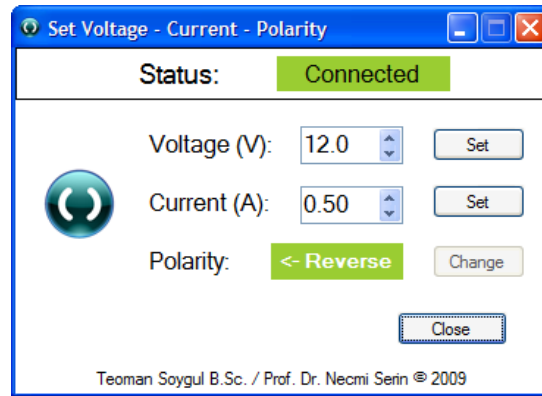
Sekil 6.2 Prototip B Kontrol Paneli yazilimin en onemli parcasi olan SetVCP (Set Voltage Current Polarity) sinifi gorulmektedir. Bu sinif, Protocom sinifini kullanarak cihaz ile sorunsuz iletisimi saglamaktadir. Protocom sinifi ile kullanıcı tarafından girilen komutlar arka planda islenirken, SetVCP sinifi tarafından olusturulan kullanıcı arayuzu kullanarak yeni komutlar verilmeye devam edilebilir. Veri iletisim yolunun sinirli bant genisligine sahip olmasi nedeni ile veri yapisi olarak depolanan komutlar sirasi ile yerine getirilir. Butun bu komutlari sonucunda olanlar ise CurrentStatus sinifi tarafından takip edilerek kullanıcıya grafik arayuzu ile gosterilir. Burada code reuse 'a guzel bir ornek olarak Procom sinifinin iki farkli sinif tarafından farkli amaclar ile kullanimi gorulmektedir. Butun bu sinif iletisimlerinin tek bir program altinda toplanmis haliyle kontrol yazilimi asagidaki seklini alır.



Şekil 4.3: Butunu ile Prototip B Kontrol Paneli yazilimi.

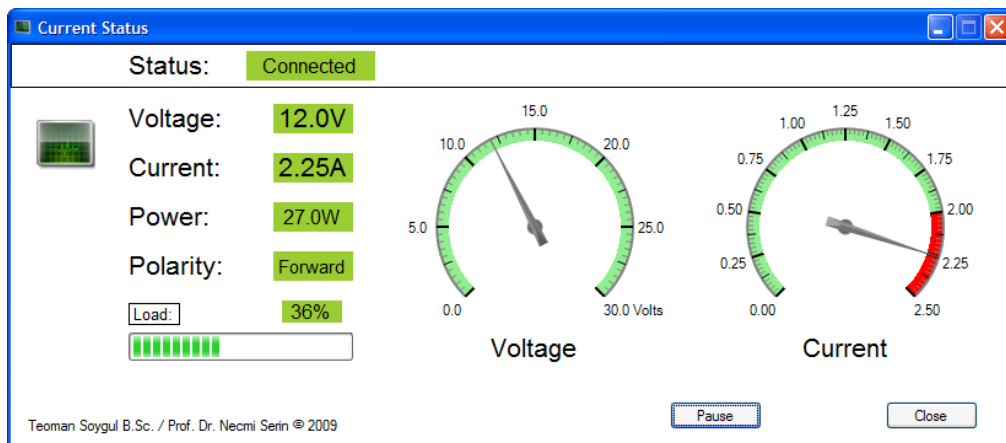
Sekilde gorulen ana ekran, diger butun modullerin biraraya getirildigi ve yordimci hizmetlerin verildigi ana formdur. Ekranin ortasinda gorulen butonlar, sistemin geri

kalan özelliklerini kullanmak üzere alt modülleri açar. Örneğin Şekil 6.2 de sınıf diyagramı gösterilen ve modül yapısına değinilen Set Voltage Current Polarity modülünün grafik arayüzü aşağıdaki gibidir.



Şekil 4.4: SetVCP modülünün grafik ara yuzu.

Bu forma erişmek için ana menüden yeşille ikon ile gösterilen “Set Voltage – Current” tusuna basmak yeterlidir. Modul açıldığı anda cihazın bilgisayara bağlı olup olmadığını kontrol eder ve bağlantı yapılmısa, devreye komut göndermek için gereken alanlar aktiflesir. Bu modul ile verilen komutların sonucu, “Current Status” modülü ile Şekil 6.5 ‘de görüldüğü üzere gözlemlenebilir. Burada asıl yük direnci üzerinden alınan ölçümler grafiksel olarak gösterilmektedir.



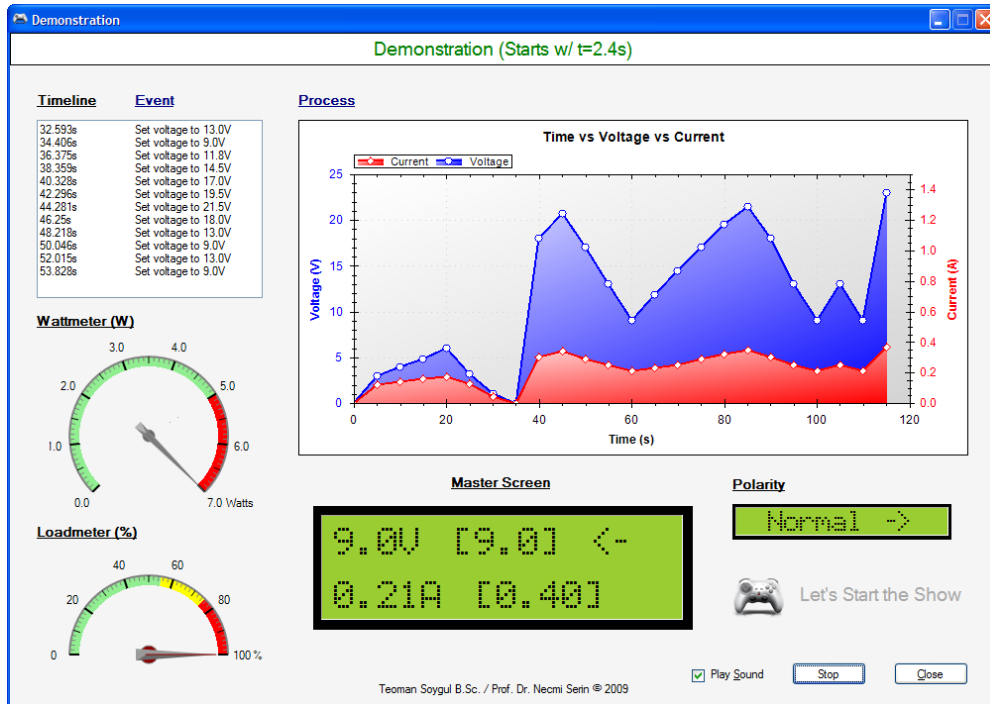
Şekil 4.5: Current Status modülünün grafik ara yuzu.

“Update Firmware” ve “Calibration” modullerinin kullanımı oldukça kolay olduğundan dolayı burada açıklanmamakla birlikte, yerlesik bellek guncellemelerinden sonra Sekil 6.6 ‘daki gibi “Hardware Info” modulu ile son yapılan degisiklikleri onamakta fayda faydır.



Şekil 4.6: Hardware Information modulunun grafik ara yuzu.

Gereken bütün moduller hakkında geniş bilgiye “Help” menüsünden kolaylıkla ulaşılabilir. Bunun yanında burda tanıtılan son modul, devrenin yeteneklerini göstermek acısından oldukça bilgilendirici olan “Demonstration” moduludur.



Şekil 4.7: Demonstration modulunun grafik ara yuzu.

Sekil 6.7’de gorulecegi uzere, bu modul uzerinde LCD panelde gorulen verilen gercek zamanli olarak takip edilebilir. Bu projenin replikasinin insaasi sirasinda bu modul gereken butun islevlik testleri icin kullanilmak icin tasarlanmistir. Gerektiginde farkli ayarlar ile farkli konfigurasyonlari denemesine izin veren bu yazilim sayesinde, benzeri bir devrenin gelismis modellerinin yapimi veya benzeri islevi olan farkli devreler icin de kullanilabilir.

Bölüm 5 Sonuç

Bu deneysel çalışmanın sonucu itibari ile hedeflenen lineer güç kaynağı devresi beklenilenin çok ötesinde bir performans ile çalışmaktadır. Bu proje ile geleneksel olarak analog parçalara atfedilen birçok görevin tek başına bir mikrokontrolör ile yapılabileceği gösterilmiş olmaktadır. Devrenin kararlılığının yanında çok önemli miktarda özelleştirilme imkanı sunması, gelecek tasarımlar için de bir referans teşkil etmektedir. Özellikle bilgisayar kontrolü, kontrol paneli yazılımı ile çok uyumlu çalışmakla birlikte, yerleşik bellek dahilindeki kalibrasyon ve güncelleme seçenekleri çok uzun ömürlü bir kullanımı olanaklı kılmaktadır. Benzeri bir tasarım endüstriyel amaçlarla yapılacak olsa idi, bu seçenekler çok iyi servis imkanlarının sunulmasına da olanak sağlayacak olduğu kesindir. Genel itibari ile lineer güç kaynakları için mikrokontrolörlü mimari oldukça etkin olabileceği gösterilmiştir. Dijital kısım oldukça iyi iken, benzeri bir güç kaynağının verimliliğini maksimuma çıkarmak için daha yüksek frekanslarda çalışan switch-mode uygulamalarına da geçmeye bir ön hazırlık olabilir. Bu tasarımı gelecekte geliştirmek amacı ile özellikle nispeten güncel olan switch-mode teknolojisi de entegre olarak kullanılabilir. Bu sayede ana hedeflerden biri olan minimum maliyet ve boyut amacına bir adım daha yaklaşılabılır.

Ek 1 Uygulama Kodu

Bu kismda, C dili ile yazilmis olup, mikroislemcinin butun islevlerini tanımlayan kod sunulmaktadır. Burada, islemcinin sistemin diger elemanlari ile iletisim kurmasi icin gereken kurallar, disaridan gelen uyarimlara vermesi gereken tepkiler ve sistemin genelinin islevi belirlenmektedir. Bu kod, butun kodun en kritik one sahip kismi oldugu icin burada sunulmustur. Butunu, oldukca fazla yer kaplayacak olmasindan delayi ancak tez ile birlikte gelen CD icinde sunulmustur.

C Kodu

main.c

```
// Chip type          : ATmega8
// Clock frequency    : 4.0MHz (internal oscillator)

#include <avr/io.h>
#include <inttypes.h>
#include <avr/interrupt.h>
#define F_CPU 4000000UL // 4 MHz
#include <util/delay.h>
#include "lcd.h"
#include "dac.h"
#include "kbd.h"
#include "analog.h"
#include "avr_compat.h"
#include "hardware_settings.h"
#include "i2c_avr.h"
#include <stdlib.h> // atoi
#include <string.h>
#include <avr/eeprom.h>

#define SWVERSION "V1.2 (20.4.2009)"

static int set_val[2];
static int measured_val[2];
static char i2c_buf[MAX_BUF_LEN+1];
// the set values but converted to ADC steps
static int set_val_adcUnits[2];
static unsigned char bpress=0;
static int polarity=0; // polarity is normal

void delay_ms(unsigned int ms)
/* delay for a minimum of <ms> */
{
    // we use a calibrated macro. This is more
    // accurate and not so much compiler dependent
```

```

        // as self made code.
        while(ms) {
            _delay_ms(0.96);
            ms--;
        }
    }

    // Convert a integer which is representing a float into a string.
    // decimalpoint_pos sets the decimal point after 2 pos: e.g 74
    // becomes "0.74"
    // The integer may not be larger than 10000.
    // The integer must be a positive number.
    // spacepadd can be used to add a leading speace if number is less
    // than 10
    static void int_to_ascii(int inum, char *outbuf, signed char
    decimalpoint_pos, signed char spacepadd) {
        signed char i, j;
        char chbuf[8];
        j=0;
        while(inum>9 && j<7) {
            // zero is ascii 48:
            chbuf[j]=(char)48+ inum-((inum/10)*10);
            inum=inum/10;
            j++;
            if(decimalpoint_pos==j) {
                chbuf[j]='.';
                j++;
            }
        }
        chbuf[j]=(char)48+inum; // most significant digit
        decimalpoint_pos--;
        while(j<decimalpoint_pos) {
            j++;
            chbuf[j]='0';
        }
        if (spacepadd && j > (decimalpoint_pos+2)) {
            // no leading space padding needed
            spacepadd=0;
        }
        if(decimalpoint_pos==j) {
            j++;
            chbuf[j]='.';
            j++;
            chbuf[j]='0'; // leading zero
        }
        if (spacepadd) {
            j++;
            chbuf[j]=' '; // leading space padding: "9.50" becomes "
9.50"
        }
        // now reverse the order
        i=0;
        while(j>=0) {
            outbuf[i]=chbuf[j];
            j--;
            i++;
        }
        outbuf[i]='\0';
    }

    // convert voltage values to adc values, disp=10 is 1.0V

```

```

static int disp_u_to_adc(int disp){
    return((int)(disp * 102.3) / (ADC_REF * U_DIVIDER));
}
// calculate the needed adc offset for voltage drop on the
// current measurement shunt (the shunt has about 0.5 Ohm =1/2 Ohm)
static int disp_i_to_u_adc_offset(int disp){
    return(disp_u_to_adc(disp/20));
}
// convert adc values to voltage values, disp=10 is 1.0V
// disp_i_val is needed to calculate the offset for the voltage drop
// over
// the current measurement shunt
static int adc_u_to_disp(int adcunits,int disp_i_val){
    int adcdrop;
    adcdrop=disp_i_to_u_adc_offset(disp_i_val);
    if (adcunits < adcdrop){
        return(0);
    }
    adcunits=adcunits-adcdrop;
    return((int)((adcunits /102.3)* ADC_REF * U_DIVIDER)+0.6));
}
// convert adc values to current values, disp=10 needed to be printed
// by the printing function as 0.10 A
static int disp_i_to_adc(int disp){
    return((int) (((disp * 10.23)* I_RESISTOR) / ADC_REF));
}
// convert adc values to current values, disp=10 needed to be printed
// by the printing function as 0.10 A
static int adc_i_to_disp(int adcunits){
    return((int) (((adcunits* ADC_REF)/(10.23 * I_RESISTOR))+0.6));
}

static void store_permanent(void){
    int tmp;
    signed char changeflag=1;
    lcd_clrscr();
    if (eeprom_read_byte((uint8_t *)0x0) == 19){
        changeflag=0;
        // ok magic number matches accept values
        tmp=eeprom_read_word((uint16_t *)0x04);
        if (tmp != set_val[1]){
            changeflag=1;
        }
        tmp=eeprom_read_word((uint16_t *)0x02);
        if (tmp != set_val[0]){
            changeflag=1;
        }
    }
    if (changeflag){
        lcd_puts_P("Settings Stored");
        eeprom_write_byte((uint8_t *)0x0,19); // magic number
        eeprom_write_word((uint16_t *)0x02,set_val[0]);
        eeprom_write_word((uint16_t *)0x04,set_val[1]);
    }else{
        if (bpress> 5){
            // display software version after long press
            lcd_puts_P(SWVERSION);
            lcd_gotoxy(0,1);
            lcd_puts_P("Teoman Soygul");
        }else{
            lcd_puts_P("Already Stored");
        }
    }
}

```

```

    }
    }
    delay_ms(200);
}

// check the keyboard
static unsigned char check_buttons(void) {
    if (check_u_button(&(set_val[1]))) {
        if (set_val[1] > U_MAX) {
            set_val[1] = U_MAX;
        }
        return(1);
    }
    if (check_i_button(&(set_val[0]))) {
        if (set_val[0] > I_MAX) {
            set_val[0] = I_MAX;
        }
        return(1);
    }
    if (check_store_button()) {
        store_permanent();
        return(2);
    }
    return(0);
}

void check_i2c_interface(void) {
    if (i2c_get_received_data(i2c_buf)) {
        if (i2c_buf[0] == 'i') {
            if (i2c_buf[1] == '=' && i2c_buf[2] != '\0') {
                set_val[0] = atoi(&i2c_buf[2]);
                if (set_val[0] > I_MAX) {
                    set_val[0] = I_MAX;
                }
                if (set_val[0] < 0) {
                    set_val[0] = 0;
                }
                i2c_send_data("ok");
            } else {
                int_to_ascii(measured_val[0], i2c_buf, 2, 0);
                strcat(i2c_buf, "A");
                i2c_send_data(i2c_buf);
            }
        } else if (i2c_buf[0] == 's') {
            store_permanent();
            i2c_send_data("ok");
        } else if (i2c_buf[0] == 'p') {
            // change polarity here
            if (i2c_buf[1] == '=') {
                if (i2c_buf[2] == 'n') {
                    cbi(PORTB, PB3); // off so relay is off
                    and_polarity_is_normal

                    polarity = 0;
                    i2c_send_data("ok");
                }
                else if (i2c_buf[2] == 'r') {
                    sbi(PORTB, PB3); // on so relay is on
                    and_polarity_is_reverse

                    polarity = 1;
                    i2c_send_data("ok");
                }
            }
        }
    }
}

```

```

        else {
            i2c_send_data("err");
        }
    }else {
        if(polarity==0){
            i2c_send_data("nrm");
        }
        else {
            i2c_send_data("rev");
        }
    }
}
}else if (i2c_buf[0]=='v'){
    lcd_gotoxy(0,0);
    lcd_puts_P(SWVERSION);
    lcd_gotoxy(0,1);
    lcd_puts_P("Teoman Soygul");
    i2c_send_data(SWVERSION);
    delay_ms(2000);
}else if (i2c_buf[0]=='u'){
    if (i2c_buf[1]=='=' && i2c_buf[2]!='\0'){
        set_val[1]=atoi(&i2c_buf[2]);
        if(set_val[1]>U_MAX){
            set_val[1]=U_MAX;
        }
        if(set_val[1]<0){
            set_val[1]=0;
        }
        i2c_send_data("ok");
    }else{
        int_to_ascii(measured_val[1],i2c_buf,1,0);
        strcat(i2c_buf,"v");
        i2c_send_data(i2c_buf);
    }
}
}else{
    i2c_send_data("err");
}
}

}

int main(void)
{
    char out_buf[20+1];
    measured_val[0]=0;
    measured_val[1]=0;
    init_dac();
    lcd_init(LCD_DISP_ON);
    init_kbd();
    set_val[0]=15;set_val[1]=50; // 150mA and 5V
    if (eeprom_read_byte((uint8_t *)0x0) == 19){
        // ok magic number matches accept values
        set_val[1]=eeprom_read_word((uint16_t *)0x04);
        set_val[0]=eeprom_read_word((uint16_t *)0x02);
    }
    // I2C also called TWI, slave address=3
    i2c_init(3,1,0);
    sei();
    i2c_send_data("on");
    init_analog();

    while (1) {

```



```

        // current
        measured_val[0]=adc_i_to_disp(getanalogresult(0));
        set_val_adcUnits[0]=disp_i_to_adc(set_val[0]);
        set_target_adc_val(0,set_val_adcUnits[0]);
        // voltage

        measured_val[1]=adc_u_to_disp(getanalogresult(1),measured_val[0
]);

        set_val_adcUnits[1]=disp_u_to_adc(set_val[1])+disp_i_to_u_adc_o
ffset(measured_val[0]);
        set_target_adc_val(1,set_val_adcUnits[1]);

        // voltage
        lcd_clrscr();
        int_to_ascii(measured_val[1],out_buf,1,1);
        lcd_puts(out_buf);
        lcd_puts("V ");
        int_to_ascii(set_val[1],out_buf,1,1);
        lcd_putc('[');
        lcd_puts(out_buf);
        lcd_putc(']');
        if (!is_current_limit()){
            // put a marker to show which value is currently
limiting
            lcd_puts("<-");
        }

        check_i2c_interface();

        // current
        lcd_gotoxy(0,1);
        int_to_ascii(measured_val[0],out_buf,2,0);
        lcd_puts(out_buf);
        lcd_puts("A ");
        int_to_ascii(set_val[0],out_buf,2,0);
        lcd_putc('[');
        lcd_puts(out_buf);
        lcd_putc(']');
        if (is_current_limit()){
            // put a marker to show which value is currently
limiting
            lcd_puts("<-");
        }
        //dbg
        //int_to_ascii(is_dacval(),out_buf,0,0);
        //lcd_puts(out_buf);
        check_i2c_interface();

        // the buttons must be responsive but they must not
        // scroll too fast if pressed permanently
        if (check_buttons()==0){
            // no buttons pressed
            delay_ms(100);
            bpress=0;
            check_i2c_interface();
            check_buttons();
            delay_ms(150);
        }else{
            // button press
            if (bpress > 11){

```

```

// somebody pressed permanetly the
button=>scroll fast
    delay_ms(10);
    check_i2c_interface();
    delay_ms(40);
} else{
    bpress++;
    delay_ms(100);
    check_i2c_interface();
    delay_ms(150);
}
}
return(0);
}

```

Ek 2 Kontrol Paneli Kaynak Kodu

Bu kismida sunulan kodu dosyasi C# dili ile yazilmistir. Grafik arayuzleri tasarlamak ve bircok Windows programlama teknigini derinlemesine kullanmak icin oldukca faydali olan bu dil ile, guc kaynagi ile bilgisayar arasindaki butun iletisim saglanmaktadır. Ticari yazilim kalitesinde olan bu program ile, cihazin butun yonleri oldukca iyi tasarlanmis bir grafik arayuzu ile oldukca rahat bir sekilde kullanılabilir. Alet üzerindeki kontrol panelinde olmayan onlarda yeni ozellik de bu yazilim ile sunulmaktadır. Burada yazilimin sadece en kritik parçasi sunulmaktadır. Asli 13740 satir (275 sayfa) olan ve butunu benim tarafimdan yazilmis olan bu kod, butun haliyle tez ile birlikte gelen CD icinde sunulmustur.

C# Kodu

SetVCP.cs

```
using System;
using System.Collections.Generic;
using System.ComponentModel;
using System.Data;
using System.Drawing;
using System.Text;
using System.Windows.Forms;
using System.Collections;

namespace Prototype_B_Control_Panel.Forms
{
    public partial class SetVCP : Form
    {
        private Protocom protocom = new Protocom();
        // Declare the fields as public static for thread safety
        public static Queue setQ = new Queue();
        public static bool setVoltage, voltageProgress,
setCurrent, currentProgress, setPolarity, polarityProgress,
polarityRetrieved = false;
        // Local values which may not be set as of yet
        public static string localVoltageValue,
localCurrentValue, localPolarityValue = "";
        // Remote values which are real time device values
        public static string remoteVoltageValue,
remoteCurrentValue, remotePolarityValue = "";

        public SetVCP()
        {
            InitializeComponent();
            polarityRetrieved = false;
        }
    }
}
```

```

        setQ.Clear();
        setVoltage = false;
        setCurrent = false;
        setPolarity = false;
        polarityBackgroundWorker.RunWorkerAsync();
    }

    private void polarityBackgroundWorker_DoWork(object
sender, DoWorkEventArgs e)
    {
        while (polarityRetrieved == false)
        {
            remotePolarityValue = protocom.GetPolarity();
            localPolarityValue = remotePolarityValue;
            if (localPolarityValue == "normal")
            {
                polarityRetrieved = true;

                polarityBackgroundWorker.ReportProgress(100);
            }
            else if (localPolarityValue == "reverse")
            {
                polarityRetrieved = true;

                polarityBackgroundWorker.ReportProgress(100);
            }
            else
            {
                polarityRetrieved = false;

                polarityBackgroundWorker.ReportProgress(0);
            }
        }
    }

    private void
polarityBackgroundWorker_ProgressChanged(object sender,
ProgressChangedEventArgs e)
    {
        if (e.ProgressPercentage == 100)
        {
            statusLabel.Text = "Connected";
            statusLabel.BackColor = Color.YellowGreen;
            if (remotePolarityValue == "normal")
            {
                polarity.Text = "Normal ->";
            }
            else
            {
                polarity.Text = "<- Reverse";
            }
            changePolarityButton.FlatStyle =
FlatStyle.Standard;
            changePolarityButton.Enabled = true;
            if(setQ.Count != 0)
backgroundWorker.RunWorkerAsync();
        }
        else if (e.ProgressPercentage == 0)
        {
            statusLabel.Text = "Disconnected";

```

```

        statusLabel.BackColor = Color.Red;
    }
}

private void backgroundWorker_DoWork(object sender,
DoWorkEventArgs e)
{
    // First in first out
    string s = "";
    if (polarityRetrieved == false)
    {
        // If there is nothing in the queue, do
nothing
    }
    else
    {
        // Continue running while there is something
in the queue
        while (setQ.Count != 0)
        {
            // Remove one from the queue
            s = setQ.Dequeue().ToString();
            if (s == "voltage")
            {
                while (setVoltage)
                {
                    setVoltage = false;
                    // Progress started
                    voltageProgress = true;
                    if
(protoCom.SetVoltage(localVoltageValue) == true)
                    {
                        // Job done

                        backgroundWorker.ReportProgress(100, "voltage");
                    }
                    else
                    {
                        // Connection problem

                        backgroundWorker.ReportProgress(0, "voltage");
                    }
                    // Progress completed
                    voltageProgress = false;
                }
            }
            else if (s == "current")
            {
                while (setCurrent)
                {
                    setCurrent = false;
                    // Progress started
                    currentProgress = true;
                    if
(protoCom.SetCurrent(localCurrentValue) == true)
                    {
                        // Job done

                        backgroundWorker.ReportProgress(100, "current");
                    }
                    else

```

```

        {
            // Connection problem

backgroundWorker.ReportProgress(0, "current");
        }
        // Progress completed
        currentProgress = false;
    }
}
else if (s == "polarity")
{
    while (setPolarity)
    {
        setPolarity = false;
        // Progress started
        polarityProgress = true;
        if
(protocom.SetPolarity(localPolarityValue) == true)
        {
            // Job done

backgroundWorker.ReportProgress(100, "polarity");
        }
        else
        {
            // Connection problem

backgroundWorker.ReportProgress(0, "polarity");
        }
        // Progress completed
        polarityProgress = false;
    }
}
}
}

private void backgroundWorker_ProgressChanged(object
sender, ProgressChangedEventArgs e)
{
    if (e.UserState.ToString() == "voltage")
    {
        if (e.ProgressPercentage == 100)
        {
            statusLabel.Text = "Voltage Set";
            statusLabel.BackColor =
Color.YellowGreen;
        }
        else
        {
            ClearQueue();
        }
    }
    else if (e.UserState.ToString() == "current")
    {
        if (e.ProgressPercentage == 100)
        {
            statusLabel.Text = "Current Set";
            statusLabel.BackColor =
Color.YellowGreen;
        }
    }
}
}

```

```

        else
        {
            ClearQueue();
        }
    }
    else if (e.UserState.ToString() == "polarity")
    {
        if (e.ProgressPercentage == 100)
        {
            statusLabel.Text = "Polarity Set";
            statusLabel.BackColor =
Color.YellowGreen;
        }
        else
        {
            ClearQueue();
        }
    }
}

private void ClearQueue()
{
    statusLabel.Text = "Disconnected";
    statusLabel.BackColor = Color.Red;
    setQ.Clear();
    setVoltage = false;
    setCurrent = false;
    setPolarity = false;
    localPolarityValue = remotePolarityValue;
    if (localPolarityValue == "normal")
    {
        polarity.Text = "Normal ->";
    }
    else
    {
        polarity.Text = "<- Reverse";
    }
}

private void closeButton_Click(object sender, EventArgs
e)
{
    this.Close();
}

private void setVoltageButton_Click(object sender,
EventArgs e)
{
    if (voltage.Value.ToString().Contains("."))
    {
        string tmp = (voltage.Value*10).ToString();
        localVoltageValue = tmp.Substring(0,
tmp.Length - 2);
    }
    else
    {
        localVoltageValue =
(voltage.Value*10).ToString();
    }
}

```

```

// If value is being transmitted to the device
already
    if (voltageProgress == true)
    {
        setVoltage = true;
    }
    // If the value is already in the setQ
    else if (setVoltage == true)
    {
        // Do nothing as the new value will be used
        automatically
    }
    // If none of the above, create a new queue entry
    in setQ and run backgroundWorker
    else
    {
        setQ.Enqueue("voltage");
        setVoltage = true;
        if (backgroundWorker.IsBusy == false)
        backgroundWorker.RunWorkerAsync();
    }
}

private void setCurrentButton_Click(object sender,
EventArgs e)
{
    if (current.Value.ToString().Length == 1)
    {
        localCurrentValue = (current.Value *
100).ToString();
    }
    else if
(current.Value.ToString().Substring(current.Value.ToString().Length -
2, 1) == ".")
    {
        localCurrentValue =
(Convert.ToDecimal(current.Value.ToString()) * 100).ToString();
    }
    else
    {
        string tmp = (current.Value *
100).ToString();
        localCurrentValue = tmp.Substring(0,
tmp.Length - 3);
    }

    // If value is being transmitted to the device
already
    if (currentProgress == true)
    {
        setCurrent = true;
    }
    // If the value is already in the setQ
    else if (setCurrent == true)
    {
        // Do nothing as the new value will be used
        automatically
    }
    // If none of the above, create a new queue entry
    in setQ
    else

```



```

        {
            setQ.Enqueue("current");
            setCurrent = true;
            if (backgroundWorker.IsBusy == false)
backgroundWorker.RunWorkerAsync();
        }
    }

    private void changePolarityButton_Click(object sender,
EventArgs e)
    {
        if (localPolarityValue == "normal")
        {
            localPolarityValue = "reverse";
            polarity.Text = "<- Reverse";
        }
        else
        {
            localPolarityValue = "normal";
            polarity.Text = "Normal ->";
        }

        // If value is being transmitted to the device
already
        if (polarityProgress == true)
        {
            setPolarity = true;
        }
        // If the value is already in the setQ
        else if (setPolarity == true)
        {
            // Do nothing as the new value will be used
automatically
        }
        // If none of the above, create a new queue entry
in setQ
        else
        {
            setQ.Enqueue("polarity");
            setPolarity = true;
            if (backgroundWorker.IsBusy == false)
backgroundWorker.RunWorkerAsync();
        }
    }
}

```

Ek 3 Test Kodu

Bu kismda, bu tezin deneysel kısmi için hem yazılım hem de donanım işlevsellik testleri için kullanılan yazılımın kaynak kodu bulunmaktadır. Bu kod, aynı zamanda kontrol paneli yazılımına da entegre edilerek kullanım kolaylığı sağlanmıştır. Bölüm 6'ya donulerek bu yazılımın dizayni ve kullanımı hakkında daha geniş bilgiye erişilebileceği gibi, Bölüm 8'de bu tez için uygulanan testler, bir replika için de derlenerek ayrı bir yazılım olarak kullanılabilir. Bu kod da kontrol paneli modülleri ile uyumlu olarak C# ile yazılmış olup, derlemek için Microsoft Visual Studio 2008 gereklidir [7]. (VS2008, Express Edition adı altında ücretsiz olarak da sunulmaktadır). Testlerin manuel olarak tekrarlanması için kod içindeki komutlar 'protocom' yazılımı ile ayrıca kullanılabilir.

C# Kodu

Demonstration.cs

```
using System;
using System.Collections.Generic;
using System.ComponentModel;
using System.Data;
using System.Drawing;
using System.Text;
using System.Windows.Forms;
using System.Collections;

namespace Prototype_B_Control_Panel.Forms
{
    public partial class SetVCP : Form
    {
        private Protocom protocom = new Protocom();
        // Declare the fields as public static for thread safety
        public static Queue setQ = new Queue();
        public static bool setVoltage, voltageProgress,
setCurrent, currentProgress, setPolarity, polarityProgress,
polarityRetrieved = false;
        // Local values which may not be set as of yet
        public static string localVoltageValue,
localCurrentValue, localPolarityValue = "";
        // Remote values which are real time device values
        public static string remoteVoltageValue,
remoteCurrentValue, remotePolarityValue = "";

        public SetVCP()
        {
            InitializeComponent();
        }
    }
}
```

```

        polarityRetrieved = false;
        setQ.Clear();
        setVoltage = false;
        setCurrent = false;
        setPolarity = false;
        polarityBackgroundWorker.RunWorkerAsync();
    }

    private void polarityBackgroundWorker_DoWork(object
sender, DoWorkEventArgs e)
    {
        while (polarityRetrieved == false)
        {
            remotePolarityValue = protocom.GetPolarity();
            localPolarityValue = remotePolarityValue;
            if (localPolarityValue == "normal")
            {
                polarityRetrieved = true;

                polarityBackgroundWorker.ReportProgress(100);
            }
            else if (localPolarityValue == "reverse")
            {
                polarityRetrieved = true;

                polarityBackgroundWorker.ReportProgress(100);
            }
            else
            {
                polarityRetrieved = false;

                polarityBackgroundWorker.ReportProgress(0);
            }
        }
    }

    private void
polarityBackgroundWorker_ProgressChanged(object sender,
ProgressChangedEventArgs e)
    {
        if (e.ProgressPercentage == 100)
        {
            statusLabel.Text = "Connected";
            statusLabel.BackColor = Color.YellowGreen;
            if (remotePolarityValue == "normal")
            {
                polarity.Text = "Normal ->";
            }
            else
            {
                polarity.Text = "<- Reverse";
            }
            changePolarityButton.FlatStyle =
FlatStyle.Standard;
            changePolarityButton.Enabled = true;
            if(setQ.Count != 0)
backgroundWorker.RunWorkerAsync();
        }
        else if (e.ProgressPercentage == 0)
        {

```

```

        statusLabel.Text = "Disconnected";
        statusLabel.BackColor = Color.Red;
    }
}

private void backgroundWorker_DoWork(object sender,
DoWorkEventArgs e)
{
    // First in first out
    string s = "";
    if (polarityRetrieved == false)
    {
        // If there is nothing in the queue, do
nothing
    }
    else
    {
        // Continue running while there is something
in the queue
        while (setQ.Count != 0)
        {
            // Remove one from the queue
            s = setQ.Dequeue().ToString();
            if (s == "voltage")
            {
                while (setVoltage)
                {
                    setVoltage = false;
                    // Progress started
                    voltageProgress = true;
                    if
(protocom.SetVoltage(localVoltageValue) == true)
                    {
                        // Job done

                        backgroundWorker.ReportProgress(100, "voltage");
                    }
                    else
                    {
                        // Connection problem

                        backgroundWorker.ReportProgress(0, "voltage");
                    }
                    // Progress completed
                    voltageProgress = false;
                }
            }
            else if (s == "current")
            {
                while (setCurrent)
                {
                    setCurrent = false;
                    // Progress started
                    currentProgress = true;
                    if
(protocom.SetCurrent(localCurrentValue) == true)
                    {
                        // Job done

                        backgroundWorker.ReportProgress(100, "current");
                    }
                }
            }
        }
    }
}

```

```

else
{
    // Connection problem

backgroundWorker.ReportProgress(0, "current");
}
// Progress completed
currentProgress = false;
}
}
else if (s == "polarity")
{
    while (setPolarity)
    {
        setPolarity = false;
        // Progress started
        polarityProgress = true;
        if
(protocom.SetPolarity(localPolarityValue) == true)
        {
            // Job done

backgroundWorker.ReportProgress(100, "polarity");
        }
        else
        {
            // Connection problem

backgroundWorker.ReportProgress(0, "polarity");
        }
        // Progress completed
        polarityProgress = false;
    }
}
}

private void backgroundWorker_ProgressChanged(object
sender, ProgressChangedEventArgs e)
{
    if (e.UserState.ToString() == "voltage")
    {
        if (e.ProgressPercentage == 100)
        {
            statusLabel.Text = "Voltage Set";
            statusLabel.BackColor =
Color.YellowGreen;
        }
        else
        {
            ClearQueue();
        }
    }
    else if (e.UserState.ToString() == "current")
    {
        if (e.ProgressPercentage == 100)
        {
            statusLabel.Text = "Current Set";
            statusLabel.BackColor =
Color.YellowGreen;

```

```

        }
        else
        {
            ClearQueue();
        }
    }
    else if (e.UserState.ToString() == "polarity")
    {
        if (e.ProgressPercentage == 100)
        {
            statusLabel.Text = "Polarity Set";
            statusLabel.BackColor =
Color.YellowGreen;
        }
        else
        {
            ClearQueue();
        }
    }
}

private void ClearQueue()
{
    statusLabel.Text = "Disconnected";
    statusLabel.BackColor = Color.Red;
    setQ.Clear();
    setVoltage = false;
    setCurrent = false;
    setPolarity = false;
    localPolarityValue = remotePolarityValue;
    if (localPolarityValue == "normal")
    {
        polarity.Text = "Normal ->";
    }
    else
    {
        polarity.Text = "<- Reverse";
    }
}

private void closeButton_Click(object sender, EventArgs
e)
{
    this.Close();
}

private void setVoltageButton_Click(object sender,
EventArgs e)
{
    if (voltage.Value.ToString().Contains("."))
    {
        string tmp = (voltage.Value*10).ToString();
        localVoltageValue = tmp.Substring(0,
tmp.Length - 2);
    }
    else
    {
        localVoltageValue =
(voltage.Value*10).ToString();
    }
}

```

```

// If value is being transmitted to the device
already
    if (voltageProgress == true)
    {
        setVoltage = true;
    }
    // If the value is already in the setQ
    else if (setVoltage == true)
    {
        // Do nothing as the new value will be used
        automatically
    }
    // If none of the above, create a new queue entry
    in setQ and run backgroundWorker
    else
    {
        setQ.Enqueue("voltage");
        setVoltage = true;
        if (backgroundWorker.IsBusy == false)
        backgroundWorker.RunWorkerAsync();
    }
}

private void setCurrentButton_Click(object sender,
EventArgs e)
{
    if (current.Value.ToString().Length == 1)
    {
        localCurrentValue = (current.Value *
100).ToString();
    }
    else if
(current.Value.ToString().Substring(current.Value.ToString().Length -
2, 1) == ".")
    {
        localCurrentValue =
(Convert.ToDecimal(current.Value.ToString()) * 100).ToString();
    }
    else
    {
        string tmp = (current.Value *
100).ToString();
        localCurrentValue = tmp.Substring(0,
tmp.Length - 3);
    }

    // If value is being transmitted to the device
already
    if (currentProgress == true)
    {
        setCurrent = true;
    }
    // If the value is already in the setQ
    else if (setCurrent == true)
    {
        // Do nothing as the new value will be used
        automatically
    }
    // If none of the above, create a new queue entry
    in setQ
    else

```

```

        {
            setQ.Enqueue("current");
            setCurrent = true;
            if (backgroundWorker.IsBusy == false)
backgroundWorker.RunWorkerAsync();
        }
    }

    private void changePolarityButton_Click(object sender,
EventArgs e)
    {
        if (localPolarityValue == "normal")
        {
            localPolarityValue = "reverse";
            polarity.Text = "<- Reverse";
        }
        else
        {
            localPolarityValue = "normal";
            polarity.Text = "Normal ->";
        }

        // If value is being transmitted to the device
already
        if (polarityProgress == true)
        {
            setPolarity = true;
        }
        // If the value is already in the setQ
        else if (setPolarity == true)
        {
            // Do nothing as the new value will be used
automatically
        }
        // If none of the above, create a new queue entry
in setQ
        else
        {
            setQ.Enqueue("polarity");
            setPolarity = true;
            if (backgroundWorker.IsBusy == false)
backgroundWorker.RunWorkerAsync();
        }
    }
}

```


Kaynaklar

- [1] *Atmel AVR ATmega8 PDIP*. Atmel, 2009.
< http://en.wikipedia.org/wiki/File:ATmega8_01_Pengo.jpg >
- [2] Anonim. *Crowbar (circuit)*. Wikipedia the Free Encyclopedi, 2009.
< [http://en.wikipedia.org/wiki/Crowbar_\(circuit\)](http://en.wikipedia.org/wiki/Crowbar_(circuit)) >
- [3] *Proteus VSM Suite v7.4 SP3*. Labcenter Electronics, 2009.
< <http://www.labcenter.co.uk/> >
- [4] *IBM Rational Rose Enterprise v2003.06 r15*. IBM, 2008.
< <http://www.ibm.com/software/rational/rose> >
- [5] *Atmel AVR Studio v4.16*. Atmel Corporation, 2009.
< <http://www.atmel.com/products/AVR/> >
- [6] *WinAVR v2009.03.13*. WinAVR Project, 2009.
< <http://winavr.sourceforge.net/> >
- [7] *Microsoft Visual Studio 2008 SP1*. Microsoft Corporation, 2009.
< <http://go.microsoft.com/fwlink/?LinkId=88616> >
- [8] Base Digital Regulatory Circuit, Guido Socher, 2005. < <http://www.linuxfocus.org/English/September2005/article389.shtml> >
- [9] Ideas on polarity switch, macro record & replay functionality. Prof. Necmi Serin, 2009.